
ПРИКЛАДНА ГІДРОАЕРОМЕХАНІКА І ТЕПЛОМАСООБМІН

УДК 621.59

АНАЛИЗ ТЕХНИЧЕСКИХ ВОЗМОЖНОСТЕЙ СОЗДАНИЯ МОДУЛЕЙ ОЖИЖЕНИЯ ДЛЯ АЗОТНО-МЕМБРАННЫХ УСТАНОВОК

В.М. Арсеньев, С.М. Ванеев, Г.В. Кирик*, А.Д. Стадник*

Сумський державний університет, г. Суми;

**Міжнародний інститут компресорного і енергетического
машиностроєння, г. Суми*

Робота посвящена вопросам оценки технических характеристик азотно-мембранных установок, функционирующих в режиме ожигания газообразного азота, получаемого по мембранный технологии разделения воздуха. Приведены рекомендации по оптимизации процесса ожигания азота.

І ВВЕДЕНИЕ

Одним из перспективных направлений в области разделения многокомпонентных газовых смесей является применение мембранный технологии, которая базируется на отличии у компонентов смеси величин скорости проникновения через стенки полой полимерной мембранны.

Подобная технология успешно используется для получения газообразного азота из атмосферного воздуха и реализована в азотно-мембранных винтовых станциях серии АМВП и АМВ, производства концерна «Укрросметалл» [1, 2].

В отличие от воздухоразделительных установок с криоректификацией, извлечение азота из воздуха по указанной технологии не сопровождается процессами ожигания воздуха и его компонентов. В связи с этим для реализации задачи получения азота в жидкому состоянию требуется дополнить азотно-мембранный установку соответствующим криомодулем (модулем ожигания).

Выбор схемного решения для криомодуля прежде всего зависит от уровня давления азота на выходе из мембранныго модуля. Анализ выпускаемых и перспективных станций концерна «Укрросметалл» позволяет их ранжировать на три группы по возможностям создания криомодулей низкого, среднего и высокого давления. Основные показатели ряда установок представлены в таблице 1, где V_A , V_B – объемные производительности по азоту и воздуху при нормальных условиях; P_A – давление азота на выходе из установки; $(\ell_o)_A$ – удельный расход энергии на получение 1 кг газообразного азота.

В установках НД-20/33 и СД-10-250 давление на выходе РА создается за счет работы дожимного азотного компрессора. Подобным образом можно повышать давление азота и для установок типа АМВ, что, однако, приведет к увеличению удельного расхода энергии.

Получение жидкого азота на базе азотно-мембранных установок может быть использовано как в коммерческих, так и технических целях. В последнем случае реализуются, например, создание резерва азота, аккумуляция холода для улучшения режимных характеристик и другие решения.

Таблица 1 – Режимные параметры азотно-мембранных винтовых установок

Марка установки	V_A	V_B	P_A	$(\ell_o)_A$
	нм ³ /мин	нм ³ /мин	бар	кВт ч/кг
АМВП-0,25/1,2	0,25	2	7	1,0
AMB-2,5/0,7	2,5	7,35	10	0,405
AMB-5,5/0,7	5,5	14,8	10	0,324
АМВП-15/0,7	15	42,5	8	0,36
НД-20/33	10	20	33	0,34
СД-10-250	10	20	250	0,567

II ОЦЕНКА ПОКАЗАТЕЛЕЙ КРИОМОДУЛЯ

Основным показателем криогенной установки, работающей в охлаждающем режиме, является коэффициент охлаждения, представляющий собой отношение производительности установки по жидкому продукту к производительности потока сжатого криоагента, обеспечивающего работу установки по выбранному термодинамическому квазициклу [3]. Таким образом, для азотно-мембранный установки с криомодулем коэффициент охлаждения записывается в виде

$$X_A = \dot{m}_{A_f} / \dot{m}_A , \quad (1)$$

где \dot{m}_{A_f} – массовый расход жидкого азота (производительность установки по жидкому азоту);

\dot{m}_A – массовый расход газообразного азота на выходе из мембранныго модуля.

На рисунке 1 представлена схема баланса материальных потоков для азотно-мембранный установки с криомодулем.

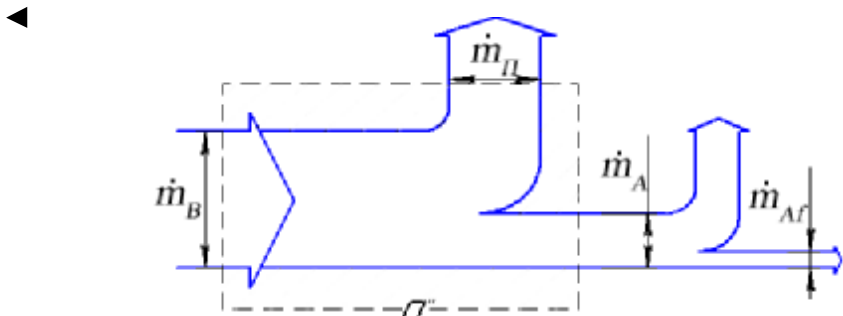


Рисунок 1 – Схема баланса материальных потоков

Согласно данной схеме воздух с массовым расходом m_B разделяется в мембранным модуле (контура «а») на поток газообразного азота, m_A и поток газового сброса (пермеата) с расходом m_n . В криоблоке из потока газообразного азота получается \dot{m}_{A_f} жидкого азота, а поток остального газообразного азота с расходом ($\dot{m}_A - \dot{m}_{A_f}$) может быть рециркулирован в системе, либо быть выведен за ее пределы.

Графическая интерпретация баланса материальных потоков показывает, что уровень возможностей охлаждения азота в установке во многом зависит от двух факторов:

степени извлечения газообразного азота из воздуха;
термодинамического совершенства цикла, по которому реализуется охлаждение азота с режимной характеристикой X_A .

Обозначим величиной β_A коэффициент извлечения газообразного азота

$$\beta_A = \dot{m}_A / m_B . \quad (2)$$

Для известных объемных производительностей установки по азоту и воздуху при нормальных условиях коэффициент извлечения газообразного азота имеет вид

$$\beta_A = \frac{\mu_A}{\mu_B} \left(\frac{\dot{V}_A}{\dot{V}_B} \right)_{n,y} , \quad (3)$$

где μ_A, μ_B – мольные массы для азота и воздуха.

При принятии объемной (мольной) концентрации азота в перерабатываемом воздухе $y_B = 0,781$ можно определить максимальное значение коэффициента извлечения

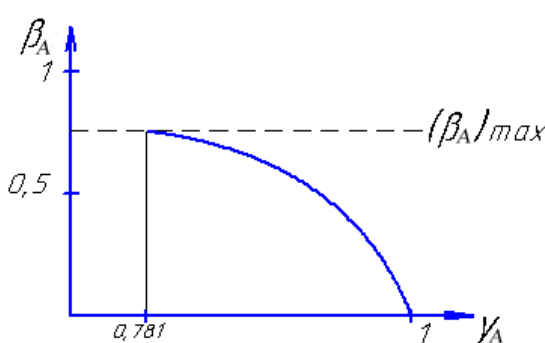
$$(\beta_A)_{\max} = \frac{\mu_A}{\mu_B} \cdot y_B = 0,754.$$

Действительные коэффициенты извлечения газообразного азота представлены в таблице 2. Величиной y_A обозначена концентрация азота в потоке азота на выходе из мембранныго модуля.

Таблица 2 – Характеристики степени извлечения газообразного азота

Марка установки	y_A	β_A	$\frac{\beta_A}{(\beta_A)_{\max}}$
АМВП-0,25/1,2	0,99	0,125	0,16
AMB-2,5/0,7	0,95	0,328	0,43
AMB-5,5/0,7	0,95	0,36	0,48
АМВП-15/0,7	0,95	0,344	0,46
НД-20/33	0,95	0,483	0,64
СД-10/250	0,95	0,483	0,64

Анализ данных по коэффициенту извлечения газообразного азота указывает на главный недостаток мембранный технологии газоразделения, а именно, невозможность получения компонента (в данном случае азота) высокой чистоты с высокой степенью извлечения.



На рисунке 2 представлен график зависимости коэффициента извлечения от объемной концентрации получаемого азота при использовании экспериментальных данных для установок АМВП-0,25/1,2 и АМВП-15/0,7. С квадратичной погрешностью $R^2 \approx 1$ представленная на рисунке 2 зависимость аппроксимируется

Рисунок 2 – График зависимости $\beta_A = (y_A)$

нижеследующим уравнением для диапазона концентрации азота $0,9 \leq y_A \leq 1$

$$\beta_A = 112,85 \cdot y_A^3 + 271,44 \cdot y_A^2 - 217,05 \cdot y_A + 58,464 \quad (4)$$

Для оценки значений коэффициента охлаждения были выполнены расчеты термодинамических параметров следующих циклов:

- для криомодулей установок АМВП рассматривался комбинированный цикл низкого давления (цикл П.Л. Капицы) с предварительным охлаждением;
- для криомодуля установки НД-20/33 - комбинированный цикл среднего давления (цикл Ж. Клода);
- для криомодуля установки СД-10/250 - дроссельный цикл высокого давления с одной ступенью предварительного охлаждения (цикл К.Линде).

Результаты расчетов представлены в таблицах 3, 4, 5.

В данной таблице обозначены:

ℓ_o – удельный расход энергии на получение 1 кг жидкого азота;

η_S^D – изоэнтронный к.п.д. детандера;

T_2' – температура азота после предварительного охлаждения;

N_D/N_{km} – отношение мощности на валу детандера к мощности компрессора для сжатия воздуха.

Таблица 3 – Расчетные параметры криомодуля установки АМВП-0,25/1,2

	$\eta_S^D = 0,3$			$\eta_S^D = 0,4$			$\eta_S^D = 0,5$		
	T_2' , К								
	250	200	150	250	200	150	250	200	150
\dot{m}_A , кг/с	0,0034			0,0034			0,0034		
X_A , кг/кг	0,018	0,033	0,036	0,031	0,048	0,053	0,043	0,062	0,07
N_D/N_{km}	0,0024			0,0032			0,004		
\dot{m}_{Af} , кг/час	0,22	0,41	0,44	0,37	0,58	0,65	0,52	0,76	0,86
ℓ_o , МДж/кг	298,5	162,4	150,1	178,2	113,8	102,1	126,9	87,6	11,3

Таблица 4 – Расчетные параметры криомодуля установки НД-20/33

	$\eta_S^D = 0,5$	$\eta_S^D = 0,7$
\dot{m}_A кг/с	0,36	
X_A , кг/кг	0,091	0,13
N_D/N_{km}	0,021	0,03
\dot{m}_{Af} , кг/ч	44,4	63,5
ℓ_o , МДж/кг	19,9	13,6
ℓ_o , кВт.ч/кг	5,53	3,78

Таблица 5 – Расчетные параметры криомодуля установки СД-10/250

\dot{m}_A	X_A	\dot{m}_{Af}	ℓ_o	ℓ_o
кг/с	кг/кг	кг/час	МДж/кг	кВт.ч/кг
0,136	0,122	59,6	24,3	6,75

Анализ представленных результатов расчета параметров криомодулей указывает на низкую энергоэффективность установок с давлением нагнетания азота 1 – 8 бар при поддержании концентрации в потоке $y_A=0,99$. Получаемые при таком уровне концентрации азота массовые расходы не позволяют применять турбодетандеры с к.п.д. 75 – 80%.

III ВЫВОДЫ

При создании криомодулей азотно-мембранных установок с обеспечением $y_A=0,99$ требуется увеличение давления азота после мембранныго модуля до 20 – 30 бар.

Повышение энергоэффективности получения азота в жидким состоянии на базе мембранный технологии разделения воздуха требует реализации технических решений, связанных с использованием энергии потока газового сброса (пермеата).

Выбор схемного решения криомодуля, его оптимизация в целом и по компонентам должны выполняться на базе показателей энергетического или термоэкономического анализа.

Ключевым звеном при создании криомодулей является газовый или газово-жидкостной детандер малорасходного типа. Необходимо выполнить работы по оценке применимости для криомодулей детандеров струйного и ротационного принципа (струйно-реактивные, винтовые, вихревые, спиральные и другие типы детандеров).

SUMMARY

The work is devoted to questions of an estimation of characteristics nitric-membran's installations functioning in a mode liquation the gaseous nitrogen received on membran's technology of division of air. Recommendations on optimization of process liquation nitrogen are resulted.

СПИСОК ЛИТЕРАТУРЫ

1. Бережной Ю.В. Разработки концерном «Укрросметалл» азотных мембранных винтовых машин типа АМВП// Компрессорное и энергетическое машиностроение – Сумы, 2005. - № 1 (1). - С. 40-43.
2. Кирик Г.В., Бережной Ю.В., Стадник А.Д. Применение азотных машин для обеспечения безопасной работы предприятий угольной промышленности//Компрессорное и энергетическое машиностроение. - 2007.- №1 (7).
3. Архаров А.М. и др. Криогенные системы: Основы теории и расчета // Учебник для студентов вузов по специальности «Криогенная техника». – 2-е изд., перераб. и доп. – М.: Машиностроение, 1988. – 464 с.

Арсеньев В.М., СумГУ, г. Сумы;

Ванеев С.М., СумГУ, г. Сумы;

Кирик Г.В., Международный институт компрессорного и энергетического машиностроения, г. Сумы;

Стадник А.Д, Международный институт компрессорного и энергетического машиностроения, г. Сумы

Поступила в редакцию 25 сентября 2007 г.